

冶金譯叢

化鐵爐

上海市科學技術編譯館

封面題字：沈尹默

冶金譯丛
化鐵爐

上海市科學技術編譯館 編譯

*
上海市科學技術編譯館出版
(上海南昌路59號)
新华书店上海发行所发行 各地新华书店經售
商务印书馆上海印刷厂印刷

*
开本 787×1092 耗 1/27 印張 7 13/27 字數 162,000
1961年11月第1版 1961年11月第1次印刷
印數：1—2,500

统一书号：6004·7
定 价：1.20 元

(内部发行)

431
47
1

簡 介

本專輯選譯了化鐵爐研究工作方面的国外新資料，主要內容有：（一）化鐵爐內冶金反應研究：碳、硅、錳、磷、硫諸元素在不同區域的反應過程及其影響變化的因素；（二）爐型結構的改進和新技術的應用，如爐頂廢氣的回收利用和淨化處理，向爐膛內噴射石墨粉，虹吸式出渣出鐵，各種型式的水冷爐型、水冷風口和氣化冷卻的應用，熱風、鹼性、無內襯的實用經驗，同位素測料綫等現代計量裝置的應用等等。本專輯可供鑄鐵車間和煉鋼車間的工程師、技術員、技師以及高等院校冶金專業師生參考。

承沈尹默先生為本專輯封面題字，特致以謝忱。

1961.11

目 录

- (一) MBC 型冶金化鐵炉反应的研究 (1)
- (二) 化鐵炉冶金学的发展 (16)
- (三) 各种元素对鑄鐵的碳熔解度活度和饱和度的影响 (29)
- (四) 辐射——对流联合式热风換热器 (51)
- (五) 关于水冷式化鐵炉 (56)
- (六) 通过冷风化鐵炉的风口噴射石墨 (74)
- (七) 空冷、热风、无衬碱性化鐵炉的研究 (85)
- (八) 化鐵炉汽化冷却 (88)
- (九) 热风化鐵炉熔鐵的基本問題 (93)
- (十) 关于碱性化鐵炉 (100)
- (十一) 碱性化鐵炉的实际操作 (117)
- (十二) 亚亨高等技术学校鑄造生产研究所的一种新型化
鐵炉 (124)
- (十三) 化鐵炉炉气淨化 (127)
- (十四) 煤气化鐵炉开炉經驗 (133)
- (十五) 20 吨/小时热风、水冷熔化带焦炭煤气化鐵炉 (136)
- (十六) Ulmer 換热器 (143)
- (十七) 当前冷风冲天炉是不是还要发展? (160)
- (十八) 化鐵炉生鐵过热經驗 (171)
- (十九) 化鐵炉料罐卷揚上料装置 (174)
- (二十) 化鐵炉熔化的渗碳、脱碳机理和化鐵炉构造对渗碳
的影响 (179)

MBC 型冶金化鐵炉反应的研究

ДОА Р.

Литейное производство 9:28~33(1960)

該試驗是在离心鑄管車間的化鐵炉上进行的。

MBC 型化鐵炉的結構特征如下：公稱能力为 10 吨/小时，除炉缸部分有衬磚外，风口以上熔化帶部分都不用衬磚。炉壳采用噴水冷却方式，并設有前炉。鐵和渣利用虹吸原理連續排出，并用銅套作成水冷风眼，采用預热鼓风。

整个研究工作分两部分同时进行：一部分在熔炼时从化鐵炉各不同水平面取出液态、固态和气态物质作内部研究；另一部分則観察熔炼过程中和停风打炉后炉膛内部情况。

当通过风眼向炉内観察时，可看到风眼上部（有时还在側部）出現的小焦块重新被气流吹向上部或旁边，然后又消失在风口水平面的下方。由于采用了虹吸出鐵出渣方式，因而，炉缸部分焦炭的消耗不是由于燃燒而是由于鐵水的渗碳和氧化物的还原所致。

通过风口发现鐵水呈滴状和不长的液态絲状，这种液态絲或从焦炭块旁流过，或落在焦炭块上，并破碎成向四方散开的細小滴子。有时滴子甚至还会在某一瞬时留在焦炭块上，然后被气流从焦块上吹掉。我們已經知道，风口部分的气氛是强氧化性的，鐵水就在这里发生了剧烈氧化。液态微粒的破碎程度和高温都有助于鐵水的氧化。

化鐵炉停风打炉后，在炉膛内部可以看到风口以上 1.5 米处的炉壳上粘結着一层 50~60 毫米厚的結渣层，結渣层的中部和下部由熔化的金属料組成，而上部則尚可看到粘結着的未熔化鋼块。在风口四周同样粘有一层結渣，有时甚至将风眼堵塞不通。

在結渣层的成份中，除掉金属外，还有少量細小的焦炭块和微量炉渣状物质。后者通常不会結成密密的一层。

表 1 是金属炉料（廢鐵）中結渣层的分析数据。

表 1

材 料	元 素 成 分 %		
	碳(总量)	锰	硫
熔铁.....	4.35	0.50	0.022
熔化带的结渣层	0.32 0.44	0.23 0.02	0.159 0.088
风口处的结渣层...	0.59	0.32	0.190

因此，结渣层是由渗碳不多的、并且含有大量硫的氧化铁皮所组成。

研究炉缸耐火炉衬的形状和侵蚀情况可以发现，使用几个星期后，圆柱形的炉缸开始变为截圆锥体，其大的基底位于风口下面，而小的基底位于炉底附近。

在一次炉缸和熔化带中的事故性金属凝结之后（俗称冻炉事故），从化铁炉中可以取得开始熔化的钢块。对凝结在这些钢块凹凸面上的小金属粒以及钢块后面（占化铁炉中熔化带开始处和风口水平距离650毫米的一半地位）的少量小金属粒进行了化学分析，其结果如下：炉料块上金属小滴中的总碳量=0.058~0.130%，硫=0.047~0.050%，落在钢块后面的金属小滴中的总碳量=1.22~1.68%，硫=0.076~1.164%。

以氧化硅、高铝、铬、铬镁砖、镁砖等各种耐火材料的捣结料和制成砖形（其中有些是在高压下压制而成的）的炉衬在风口区进行了多次试验。到目前为止，这些材料中没有一种能保证炉衬有足够的耐火性。耐久性的破坏，不是由于机械原因，而是由于化学原因，也就是说，是由于炉衬与熔化炉料的金属小滴强烈氧化而生成的金属氧化物的相互作用。

当化铁炉以高碱度炉渣（碱度为2）熔炼后进行打炉时，在风口下方常常会发现小块状或者灰尘状的白色堆积物，这种堆积物在空气中迅速分解，并强烈地散发出乙炔的气味。

毫无疑问，在风口下方会出现碳化钙的积聚现象是石灰熔剂

与焦炭相互作用的結果。

两天中，經過各次化鐵爐熔炼后发现：由于低磷廢鐵中含有大量的碳，当炉渣碱度高于一般而接近 2.9 时，炉缸严重堵塞，尤其是它的中央部分。

炉缸中央和炉缸四周渣块中的焦炭体积測定指出，炉缸中央有 8.7% 的焦炭，而炉缸四周有 27.5% 的焦炭，这表明在熔渣槽中特別是炉缸中央部分，焦炭是不足的。

分析取自风口水平面和低于风口 300 毫米处的材料試样，以及在炉缸风口水平面上同在风口和熔渣槽面之間取出的气体試样，得出了以下的結果：

风口水平面上取样时用的是水冷却取样管（图 1），此取样管經风口插入炉缸，被一层和它相接触的硬化鋼水所遮蓋（图 2）。

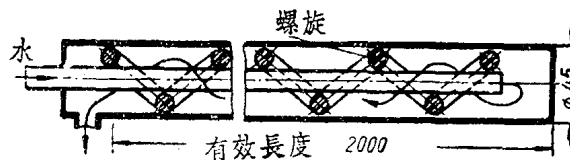


图 1

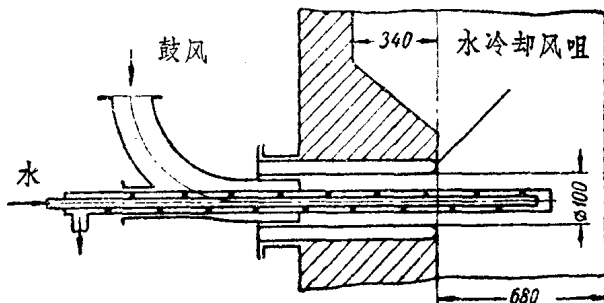


图 2

在所有的实验里，取样管是在鼓风大大减弱后插入的，恢复鼓风后，取出第一管鐵水試样，然后，在試驗結束时又取出第二管鐵

水試样。停止鼓风后，抽出取样管，大約經過半小时，再取出标准渣的样品。

必須指出，当取样管經风口插入时，它只能伸到炉壁的300~400毫米，要伸入到炉子中心是困难的。

下面列举了四次實驗的結果——两次是由 100% 鐵料組成的炉料，另外两次是由 100% 廢鋼組成的炉料，这些結果曾不止一次地在下列觀測中得到証实。

在第一次試驗中，取样管插入化鐵炉 25 分钟，从端面到风口上的距离为 420 毫米，风量为 9000 标米³/小时，风压为 1000 毫米水柱，风温为 450°C。配料的成份(料批)是：回收廢鑄鐵 800 公斤，硅鐵(45% Si)5 公斤，磷鐵(20% P)5 公斤，焦炭 130 公斤(16%)，石灰石 25 公斤。炉料中生鐵的化学成分是：3.3~3.5% 的 C, 2.25~2.5% 的 Si, 0.46% 的 Mn, 0.6~0.8% 的 P, 0.06~0.07% 的 S。熔渣的化学成分：34% 的 SiO₂, 45.9% 的 CaO, 0.40% 的 Fe, 0.27 的 Mn, 17.2% 的 Al₂O₃, 2.07% 的 S。

取样管取出后，整个取样管的工作部份复盖着炉瘤，尤其是它的端面部分。炉瘤分成了两种試样：(1)是从取样管端面取得的；(2)是从风口方面取得的。

試样 I 的金属部分化学成分：1.90% 的 C, 1.82% 的 Si, 0.25% 的 Mn, 0.38% 的 P, 0.100% 的 S。試样 I 的非金属部分化学成分：40.3% 的 SiO₂, 17.5% 的 CaO, 12.52% 的 FeO, 4.12% 的 MnO, 10.64% 的 Al₂O₃, 0.36% 的 S, 3.26% 的 C。

試样 II 完全被氧化了并具有磁性，不可能把試样 II 的金属部分和非金属部分分离开来，所以要进行整体分析，它的化学成份是：14.4% 的 SiO₂, 2.80% 的 CaO, 70% 的 Fe₂O₃, 1.34% 的 MnO, 6.40% 的 Al₂O₃, 0.04% 的 S, 4.14% 的 Fe, 0.22% 的 C。

所列数据証实，金属粒能强烈地脫碳，并且，硅、錳和磷都有很大的燒損。

第二次實驗时取样管在化鐵炉中放置 30 分钟，从取样管端面到风口的距离为 540 毫米，风量为 900 标米³/小时，风压为 1000

毫米水柱，风温为 430°C 。炉料(料批)的成份是：回收廢鐵800公斤，硅鐵(45% Si)7公斤，磷鐵(20% P)3公斤，焦炭140公斤(17.3%)，石灰石25公斤。鐵水化学成份是：3.4~3.38%的C，2.66~2.61%的Si，0.43~0.42%的Mn，0.80%的P，0.072~0.084%的S。炉渣的化学成份是：32%的 SiO_2 ，47.2%的CaO，0.36%的FeO，0.32%的Mn，1.77%的 Al_2O_3 ，1.90%的S。

取样管取出后发现，除了在長約100毫米的取样管末端部分有一些較大的金属滴和熔渣滴以外，取样管直到风嘴后面的整个部分都被炉瘤遮盖了。

炉瘤分为长度各为180毫米的三部分：試样I—取样管端面开始部分；試样II—中間部分；試样III—近风口部分。試样I有白口生鐵的結構，內含玻璃状的黑色熔渣和在冷却时不散发出气味的散成粉末状的白色球状物。試样II由白口生鐵和薄层炉渣所組成，此薄层炉渣由玻璃状黑色物质和帶淡黃色及一些不大的白色球状物层組成。試样III由易碎的氧化物团块組成。

試样I金属部分的化学成分是：3.0%的C，3.35%的Si，0.45%的Mn，0.69%的P，0.185%的S。非磁性玻璃状黑色熔渣的化学成分是：58.7%的 SiO_2 ，10.2%的 Al_2O_3 ，16.9%的CaO，0.77%的MgO，1.0%的MnO，11.6%的FeO，0.35%的S，0.13%的 P_2O_5 。磁性熔渣的化学成分是：22.3%的 Fe_3O_4 ，43.4%的 SiO_2 ，2.72%的MnO，6.75%的 Al_2O_3 ，18.5%的CaO，0.52%的MgO，0.43%的S，0.54%的 P_2O_5 ，3.5%的C，1.34%的硅鐵夹杂物。

試样II中金属的含量要比試样I中少。它的成份是：2.91%的C，3.31%的Si，0.45%的Mn，0.79%的P，0.161%的S。試样II还含有相当数量的玻璃状黑色非磁性炉渣，其成分是：65.12%的 SiO_2 ，11.92%的 Al_2O_3 ，11.3%的CaO，0.58%的MgO，1.9%的MnO，8.8%的FeO，0.18%的S，0.03%的 P_2O_5 ，0.17%的C。試样的主要部分是由磁性岩漿組成的，組分为：

28.3% 的 Fe_3O_4 , 44.5% 的 SiO_2 , 2.3% 的 MnO , 6.75% 的 Al_2O_3 , 14.5% 的 CaO , 0.3% 的 MgO , 0.3% 的 S, 0.81% 的 P_2O_5 , 0.44% 的 C, 1.8% 的硅鐵夾雜物。

實驗證明，試樣 I 中的氧化物甚至會出現在離風口 400 毫米的地方，也就是在距化鐵爐中心線大約 350 毫米之外。抽出取樣管後觀察到的爐瘤情況證明， CaO 和 C 呈夾雜物狀存在，而不包含在爐渣組分中。

第三次試驗中，取樣管在同樣條件下兩次插入化鐵爐，所得結果也相同。取樣管在化鐵爐中的時間總共為 75 分鐘，從取樣管端面到風口的距離為 680 毫米，也就是取樣管到了化鐵爐的中心線，風量為 11750 标米³/小時，風壓為 900 毫米水柱，風溫為 425°C，爐料（料批）成份是：鋼 400 公斤，硅鐵（75% Si）15 公斤，鐵磷（20% P）14 公斤，焦炭 110 公斤（25.7%），石灰熔劑 20 公斤。鐵水的化學成份是：3.21~3.34% 的 C, 2.96~3.01% 的 Si, 0.43~0.41% 的 Mn, 1.01~0.69% 的 P, 0.069~0.071% 的 S。爐渣的化學成份是：30.6% 的 SiO_2 , 47.3% 的 CaO , 0.63% 的 FeO , 0.35% 的 MnO , 19.9% 的 Al_2O_3 , 1.99% 的 S。

這根取樣管全部被爐瘤遮住。爐瘤被分成四等長度的部分。從這四個部分中取得試樣 I—IV（I 取自化鐵爐中心線，IV—取自風口處）。試樣 I 重 2003 克，由 90% 的金屬和 3% 的非金屬強磁性物質組成，其金屬成份為 1.13% 的 C, 0.23% 的 Si, 0.21% 的 Mn, 0.42% 的 P, 0.112% 的 S；非金屬弱磁性物質的成份為：22.5% 的 SiO_2 , 36.5% 的 CaO , 26.6% 的 Fe_3O_4 , 2% 的 MnO , 9.9% 的 Al_2O_3 , 1.5% 的 P_2O_5 , 0.5% 的 S。

試樣 II 重 1481 克，由 96.25% 的金屬和 3.75% 的非金屬強磁性物質組成。其金屬成份為：1.36% 的 C, 0.26% 的 Si, 0.12% 的 Mn；非金屬弱磁性物質的成份為：21.6% 的 SiO_2 , 27.7% 的 CaO , 31% 的 Fe_3O_4 , 4.4% 的 MnO , 11.8% 的 Al_2O_3 , 1.6% 的 P_2O_5 , 0.3% 的 S。

試樣 III 整重 480 克，由 77.5% 金屬和 22.5% 非金屬弱磁

性物质組成，其金属成份为 1.95% 的 C, 0.30% 的 Si, 15% 的 Mn, 0.26% 的 P, 0.101% 的 S；非金属弱磁性物质的成份为：11.7% 的 SiO_2 , 10.3% 的 Ca, 64.3% 的 Fe_3O_4 , 2% 的 MnO, 10% 的 Al_2O_3 , 1.1% 的 P_2O_5 , 0.1% 的 S。

試样 IV 总重 171 克，由 43.9% 的金属和 56.1% 的非金属弱磁性物质組成。其金属成份为：1.57% 的 C, 2.87% 的 Si, 0.26% 的 Mn, 0.25% 的 P, 0.094% 的 S；非金属弱磁性物质的成份为 7% 的 SiO_2 , 3.5% 的 CaO, 80% 的 Fe_2O_3 , 0.7% 的 MnO, 7.7% 的 Al_2O_3 , 0.8% 的 P_2O_5 , 0.1% 的 S。

在第四个實驗中，取样管在化鐵爐中放置 45 分钟，取样管端面到风口的距离为 680 毫米，风量为 7500 标米³/小时，风压为 350 毫米水柱，风温是 460°C。炉料(料批)成分是：鋼~400 公斤，硅鐵(76% Si)15 公斤，磷鐵(20%)14 公斤，焦炭 110 公斤(25.7%)，石灰熔剂 20 公斤。鐵水的化学成份是：3.37% 的 C, 2.53% 的 Si, 0.50% 的 Mn, 0.96% 的 P, 0.065% 的 S。炉渣的化学成份：31.2% 的 SiO_2 , 47% 的 CaO, 0.63% 的 FeO, 0.47% 的 MnO, 19.5% 的 Al_2O_3 , 1.99% 的 S。

由于接到风口的取样管部分缺少炉瘤，仅取了三个試样：I、II 和 III (从端面算起)，长度各为 170 毫米。在試样 I 和 II 上出現数量不少的白色夹杂物，这些夹杂物同空气接触时变成粉末，并散发出强烈的乙炔气味。

試样 I 总重 268 克，由 78.6% 的金属及 21.4% 的非金属弱磁性物质組成。金属成分是：1.73% 的 C, 5.06% 的 Si, 0.40% 的 Mn, 0.36% 的 P, 0.137% 的 S；非金属弱磁性物质成份是：20.9% 的 SiO_2 , 34.2% 的 CaO, 5.1% 的 Fe_3O_4 , 2.3% 的 MnO, 15.5% 的 Al_2O_3 , 1% 的 P_2O_5 , 0.9% 的 S 和数量最多的硅鐵(75% Si)。

試样 II 总重 509 克，由 78.5% 的金属及 21.5% 的非金属弱磁性物质組成。金属成份是：1.64% 的 C, 3.16% 的 Si, 0.26% 的 Mn, 0.29% 的 P, 0.116% 的 S；非金属弱磁性物质成份是：

12.5% 的 SiO_2 , 27.6% 的 CaO , 26.5% 的 Fe_3O_4 , 2.8% 的 MnO , 1.16% 的 P_2O_5 , 0.5% 的 S。

試样 III 总重为 239 克, 由 44.5% 金属和 55.5% 的非金属弱磁性物质組成。金属成份是: 1.60% 的 C, 4.19% 的 Si, 0.30% 的 Mn, 0.79% 的 P, 0.06% 的 S; 非金属弱磁性物质成份是: 3.8% 的 SiO_2 , 8.4% 的 CaO , 57.3% 的 Fe_3O_4 , 2.3% 的 MnO , 26.4% 的 Al_2O_3 , 0.7% 的 P_2O_5 , 0.29% 的 S。

风口水平面下取样时用变形取样管(图 3), 因为用第一种取样管插到风口以下 300 毫米左右处空料稠密物质中去, 是困难的, 但是新型取样管插到炉缸中去时, 也只能插到风口孔的直徑中心处(图 4)。

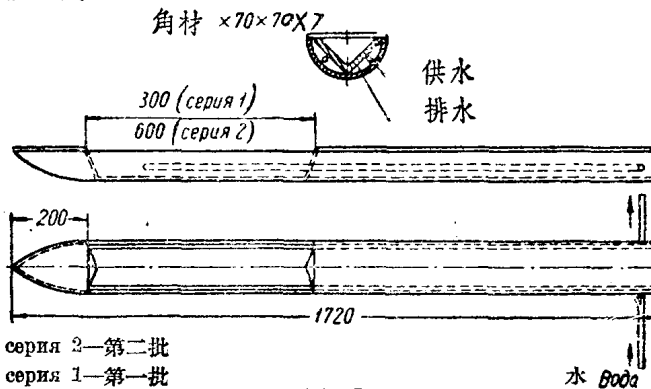


图 3

风口孔内接圆

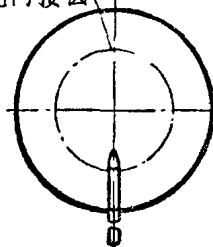


图 4

前面一部分

后面一部分

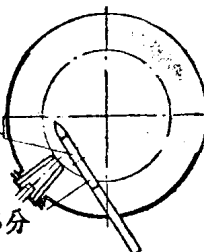


图 5

为了在风口下部直接取样, 进行了第二批試驗。在这些試驗中, 取样管根据图 5 所示方式插入。根据图 4 和图 5 所进行的試

驗結果參看表 1 和表 2。

表 2

試 驗 項 目	試 驗 1	試 驗 2	試 驗 3	
試驗時間.....	15 分鐘	10 分鐘	10 分鐘	
觀測.....	取樣管前面部分的試樣溢出。	試樣不重	大量試樣溢出。大量的結集石墨片	
爐料(公斤)：				
鋼.....	400	420	420	
FeSi (75%).....	14	14	14	
FeP (20%).....	14	14	14	
焦炭.....	110	115	115	
石灰石.....	20	20	20	
耐火磚.....	2	3	3	
爐況：				
毫米水柱.....	700	250	300	
標米 ³ /小時.....	約 8750	約 5750	約 6000	
°C	390	500	500	
試樣總重量(克).....	1687	781	4962	
金屬部分(%).....	91	84	80	
非金屬物質部分(%)....	9	16	20	
試 样 的 化 學 成 分 (%)	金 屬	Si 1.16 1.26 1 C 3.35 3.82 3.53 Mn 0.41 0.30 0.28 P 0.35 0.73 0.63 S 0.308 0.189 0.310	3.03 3.40 0.45 0.55 0.204	2.94 2.42 0.42 1.81 0.123
	非 金 屬 物 質	SiO ₂ 39.90 Al ₂ O ₃ 25.45 MnO 1.52 FeO 3.26 CaO 29.11 MgO 0.70 S 0.41 碱度 0.75	32.6 18.2 0.9 7.1 40.1 1.1 1.2 1.26	41.4 37 18.7 9.6 1.6 1.4 3.2 9.6 34.2 41.6 0.9 0.3 0.95 1.13 0.85 1.15
所 得 生 鐵 与 炉 漶 的 化 學 成 分 (%)	生 鐵	Si 2.56 C 3.40 Mn 0.43 P 0.84 S 0.070	2.56 3.35 0.49 0.83 0.092	2.24 3.36 0.35 0.90 0.070
	爐 漶	SiO ₂ 34.7 Al ₂ O ₃ 18.8 MnO 0.33 FeO 0.27 CaO 45 MgO 0.72 S 0.71 碱度 1.29	33.50 19.20 0.44 0.72 44.10 0.76 1.40 1.37	33.50 18 0.44 0.54 45.40 0.72 1.40 1.38

进行这些試驗时，炉料仅由廢鋼和鐵合金組成，这样就可以把所得到的結果与风口水平面上取得試样的試驗 3 和 4 作一比較。

試样中的炉渣或非金属物质的比例接近于从化鐵炉排出炉渣的标准比例[注]，但是它們的成分中拥有大量金属氧化物，以及石灰只是局部进入取样进行分析的炉渣，而且数量多少的变化也很大，这种炉渣中有单质氧化物或碳化鈣。这是不同于化鐵炉炉渣的地方。

如果炉料中含有石英石，那么試样中也会发现它的一些碎片（試驗4）。在某些試样中发现有石灰或碳化鈣（和风口水平面上所取的試样一样）。

碳化鈣引起单质石墨的生成（試驗 3 和 7），但这并不說明金属中含碳量一定很高（在試驗 3 中总碳量 = 2.42%）或金属的过低熔性（总碳量 + $\frac{Si + P}{3} = 4.02$ ）。

从以上試驗可得出下列結論：随着金属的熔化和通过风口区及炉缸，其組分会起变化。对于以鐵合金形式投入的硅和磷，不能作出任何明确的結論。在不添加鐵磷熔炼低磷生鐵的試驗 6 和 7 中，所取試样的含磷量則是例外的。在大多数情况下，这些試样中的含磷量相当于铁水中或炉料廢鋼中的含量。但必須指出，甚至在风口以下 300 毫米水平面上，也就是在离炉渣表面很近的地方，这些元素的含量变化得相当大。

按照化鐵炉的高度，金属中含錳量的变化情况平均如下：在风口水平面上为 0.24%，风口下面为 0.36%，铁水中为 0.46%。由此可知，錳在风口水平面上平均燒損 50% 左右，而后，所燒損的大部分則在化鐵炉风口水平面和炉缸中取得試样的位置之間得到还原。在某些情況下，錳完全还原，而在另一些情況下，錳一点也不还原。

图 6 所列的是試样中含碳量与含硫量的变化数据，这些試样是在风口水平面上及炉缸中取得的，同时图中也列有鐵水中的总碳量和总硫量。在图 6 中沒有引用低磷生鐵熔炼試驗 6 与 7 的数

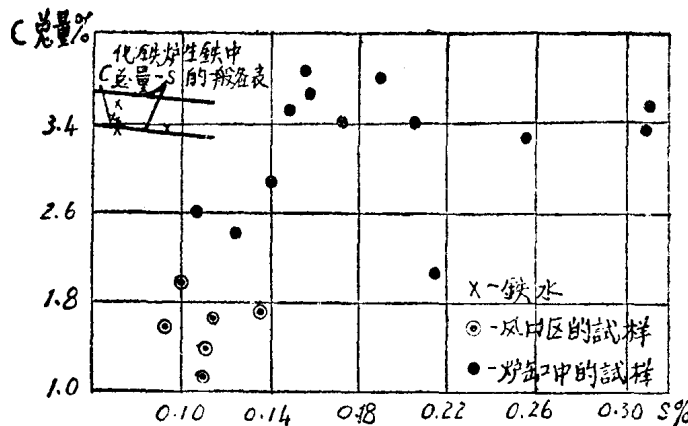


图 6

据,这些数据另外再作研究。

根据所得結果,可以得出以下結論:金属的渗碳在风口水平面上是弱渗碳,在风口以下300毫米处的区域中,渗碳則大大加强,并在九次試驗中,有六次金属中碳濃度达到生鐵中的最終含量,而在一次試驗中甚至还超过了这个含量。同时含硫量也增加,有时增加得很快(达到0.310%)。这样就产生了一个印象:至少在MBO裝置情況下,金属的渗碳作用不是取决于金属中的含硫量。在每个不同的情况下,用測定碳当量的方法所觀察到的硅和磷的含量,显然不会影响到渗碳的程度。

所进行的試驗提出了关于炉渣碱度影响金属渗 碳的机理問題。在取样的那些地方常碰到的只是强酸性或弱碱性的炉渣(試驗4的試样中少量的炉渣除外),而且依靠熔炼初期的游离石灰,能很快地得到高碱度。此外,所取得的炉渣都含有很多氧化物,然而不管怎样,生鐵含碳量和炉渣性质之間決沒有任何的联系,因此,炉渣在何处和如何影响渗碳的問題仍沒有得到解决。

炉渣的研究証明,炉渣成分变化得很激烈,而同从化鐵炉中所放出炉渣的成分沒有任何联系,能显示的只是在风口下所取試样中的 FeO 和 MnO 含量有明显的增高趋势。这样,如果在第一

表 3

試驗數據		試驗4		試驗5		試驗6		試驗7	
試驗時間.....	10分鐘	10分鐘		6分鐘		6分鐘		10分鐘	
觀測.....	有石英石和石灰塊								
爐料成分(公斤)：		420	14(75%)	440	400	400	400	400	400
鋼.....		14	14(75%)	14	—	15(45%)	—	15(45%)	—
FeSi		115	115	115	110	110	110	110	110
FeP(20%).....		20	20	20	20	20	20	20	20
焦炭.....		—	—	—	20	—	—	—	—
石灰石.....		4	4	—	—	—	—	—	—
白云石.....		500	500	450	550	550	550	550	550
石英石.....		7000	7000	6400	7200	7200	7200	7200	7200
爐火水柱.....		500°C	500°C	520°C	500°C	500°C	500°C	500°C	500°C
毫米水柱.....		500°C	500°C	520°C	500°C	500°C	500°C	500°C	500°C
試样的總重量(克).....		前 部	后 部	前 部	后 部	前 部	后 部	前 部	后 部
金屬部分(%).....	1929	1194	492	1297	455	303	303	1408	1455
爐渣部分(%).....	81	76	80	96	84	63	63	91	96
非金屬物質部分(%).....	4	2	20	4	1	11	11	4	—
石英石部分(%).....	12	20	—	—	15	26	26	—	—
	3	2	—	—	—	—	—	—	—

熔煉低磷生鐵；試樣很重。有乙炔氣味，有石墨泡。

(續)

試驗數	據	試驗 4				試驗 5				試驗 6				試驗 7			
		Si	C	Mn	P	S	Si	C	Mn	P	S	Si	C	Mn	P	S	
金屬	SiO ₂	15.3	43	34.5	35.1	30	33.7	20.2	22.6	27.5	42.4	43	22.7	21.10	粉未		
	Al ₂ O ₃	5.3	27.2	2.0	21.8	26.6	20.7	14	16.7	17	9	11.2	11.3	13.3			
	MnO	1.2	1.5	2.76	2.1	2.2	4.1	1.4	1.3	2	1.3	0.5	0.25	0.27			
	FeO	8.82	8.2	7.74	8.1	14.6	8.4	31	10.4	33	14.1	—	2.88	2.16			
	CaO	65.3	19.2	30.6	32.3	26.1	32.1	29.8	42.3	16.8	27.9	40.8	57.6	57.8			
	MgO	0.54	1.2	0.87	0.6	0.6	1	3.5	6.5	3.5	5.2	4	3.91	2.78			
	S	0.17	0.5	0.37	0.6	0.5	0.7	1.04	0.92	0.80	0.77	0.47	0.52	0.58			
	硬度	4.3	0.46	0.91	0.94	0.89	1	1.67	2.17	0.74	0.78	1.04	2.71	2.87			
鐵水	Si		2.34			2.99			1.54						1.50		
	C		3.55			3.44			4.36						4.46		
	Mn		0.45			0.50			0.52						—		
	P		0.70			0.68			0.067						0.050		
	S		0.070			0.069			0.014						0.011		
渣	SiO ₂		35.85			37.15			25						26		
	Al ₂ O ₃		16.28			15.70			10.1						10.4		
	MnO		0.36			0.64			0.11						0.12		
	FeO		0.52			0.56			0.27						0.36		
	CaO		45.70			44.30			55.4						54.8		
	MgO		0.65			1.12			6.41						4.6		
	S		1.45			1.23			1.15						1.37		
	硬度		1.30			1.23			2.47						2.28		